

بررسی سینتیک پخت رزین اپوکسی در شرایط ناهمدما

Curing Kinetics Study of Epoxy Resin at Nonisothermal Conditions

مجتبی مشیرنیا، مهرداد کوکبی^{*}، همایون معدل

تهران، دانشگاه تربیت مدرس، دانشکده فنی و مهندسی، گروه مهندسی پلیمر، صندوق پستی ۱۴۱۵۵/۴۸۳۸

دریافت: ۸۷/۲/۲۰، پذیرش: ۸۷/۴/۴

چکیده

از آنجاکه خواص رزینهای گرماسخت وابسته به شرایط پخت، دما و زمان است، تعیین مشخصه‌های سینتیکی آنها برای رسیدن به شرایط پخت بهینه لازم است. در این پژوهش، سینتیک پخت رزین اپوکسی ۵۰۵ به همراه سخت کننده آمنی به کمک دستگاه گرماسنج پویشی تفاضلی در شرایط ناهمدما در سرعتهای گردانی مختلف بررسی شده است. در ابتدا، پارامترهای سینتیکی از جمله انرژی فعال سازی (برابر $42/22 \text{ kJ/mol}$) از روش هم تبدیلی ارائه شده توسط مالک برای تحلیل داده‌های بدست آمده از آزمایش معین شد. سپس، با استفاده از این پارامترها و با انتخاب مدل سیستمک - برگرن مشخص شد که داده‌های حاصل از آزمایش‌های DSC توافق خوبی با داده‌های محاسبه شده به روش مدل دارد. بدین ترتیب، با در نظر گرفتن این مدل می‌توان تفسیر مناسبی از رفتار پخت رزین در شرایط زمانی و دمایی مختلف ارائه داد.

واژه‌های کلیدی

سینتیک پخت، رزین اپوکسی،
گرماسنج پویشی تفاضلی،
مدل سینتیکی، شرایط ناهمدما

مقدمه

که خود مرتبط با شرایط پخت، دما و زمان است. بدین دلیل تعیین مشخصه‌های سینتیکی واکنش پخت برای دستیابی به رزینی گرماسخت با خواص فیزیکی کنترل شده و شرایط پخت بهینه اهمیت دارد [۱، ۲].

تاکنون استفاده از نتایج آزمایش‌های تجزیه

رزینهای گرماسخت مورد استفاده در ساخت قطعات کامپوزیتی به دلیل استحکام و سفتی ویژه زیاد در مقایسه با مواد فلزی کاربرد بسیاری در صنایع مختلف از جمله هوا - فضا، ساختمانی و نظامی پیدا کرده‌اند. خواص فیزیکی این رزینها وابسته به میزان پخت است

Key Words

curing kinetics, epoxy resin,
differential scanning calorimeter,
kinetic model, nonisothermal conditions

خواص فیزیکی مطلوب استفاده می شود.

اساس نظری

در همه مطالعات رفتار گرمایی همدما یا ناهمدما نیاز به اعمال سه فرض اساسی زیراست:

۱- سرعت واکنش پخت ($d\alpha/dt$) متناسب با شار گرمایی مخصوص (ϕ) است:

$$\frac{d\alpha}{dt} = \frac{\phi}{\Delta H} \quad (1)$$

که در آن ΔH گرمای واکنش پخت است و درجه پخت (α) به آسانی از انتگرال جزئی منحنی همدما یا ناهمدما بدست می آید.

۲- سرعت واکنش پخت به شکل زیر بیان می شود:

$$\frac{d\alpha}{dt} = K(T)f(\alpha) \quad (2)$$

$K(T)$ ثابت سرعت واکنش پخت و وابسته به دما و $f(\alpha)$ تابع مدل سینتیکی است. انواع مدل‌های سینتیکی در جدول ۱ ارائه شده است.

۳- ثابت سرعت در معادله ۲ به شکل معادله آرنیوس نوشته می شود:

$$K(T) = A \exp\left(-\frac{E_a}{RT}\right) \quad (3)$$

که ضریب پیشنهامی A و E_a (انرژی فعال سازی) پارامترهای سینتیکی مستقل از دما و درجه پخت اند [۲، ۹]. E_a به کمک روش هم تبدیلی (isoconversional) با استفاده از شکل لگاریتمی معادله سینتیکی ۲ بدست می آید [۱۰].

$$\ln \frac{d\alpha}{dt} = \ln[Af(\alpha)] - \frac{E_a}{RT} \quad (4)$$

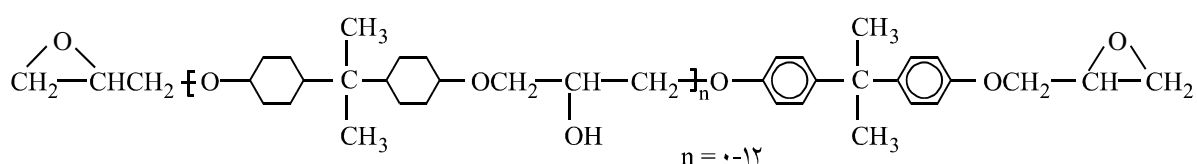
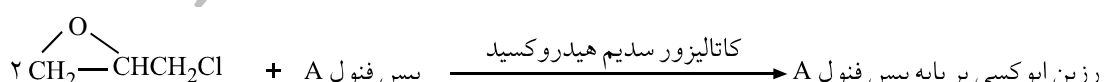
گرمایی به کمک دستگاه گرماسنج پویشی تفاضلی (DSC) در تعیین سینتیک پخت برخی رزینهای گرماسخت موضوع گزارش‌های متعددی بوده است. در سال ۱۳۷۱ مرشدیان و جهانی سینتیک پخت رزینهای فولی - نووالاک را در شرایط همدما و ناهمدما [۳] و سیفی و حجتی در سال ۱۳۷۷ سینتیک پخت رزین ۵۵۶-Ly را در شرایط همدما بررسی کردند [۴].

در سال ۱۹۹۹، یازوکین با استفاده از روش‌های سینتیکی، پخت همدما و ناهمدما اپوکسی - آنیدرید را مطالعه کرده است [۵]. در سال ۱۹۹۵ کیم درجه پخت کامپوزیت الیاف کربن در زمینه اپوکسی را که در آغاز به شکل پیش آغشته تهیه شده بود به روش همدما محاسبه کرده است [۶]. در سال ۱۹۹۳ مونتسرات تحلیل سینتیکی واکنش پخت رزین اپوکسی آرالدیت Cy۲۲۵ را به همراه ساخت کننده سیبا - گایگی به روش ناهمدما ارائه داده است [۷].

به هر حال، داده‌های سینتیکی می تواند به کمک آزمایش‌های همدما یا ناهمدما محاسبه و ثبت شود. روش تجزیه گرمایی ناهمدما به دلیل اینکه داده‌ها در دوره زمانی نسبتاً کوتاهی بدست می آیند دارای برتری است. در این پژوهش، براستفاده از این روش تأکید شده است.

از بین گرماسختها رزین اپوکسی به دلیل خواص بسیار مطلوب از جمله سفتی، مقاومت سایشی و گرمایی زیاد، چسبندگی عالی، مقاومت شیمیایی مناسب به ویژه در محیط‌های قلیایی و جمع شدگی کم پس از پخت، بیشترین میزان مصرف را به خود اختصاص داده است. به همین دلیل چگونگی رفتار پخت این رزینها مورد توجه اکثر پژوهشگران قرار دارد [۸]. رزینهای اپوکسی معمولاً از واکنش اپی کلروهیدرین (کلرو متیل اکسیران) و ترکیبی با چند گروه هیدروکسیل فعل مانند بیس فنول A مطابق طرح ۱ تهیه می شوند.

در این پژوهش، داده‌های سینتیکی رزین اپوکسی ۵۰۵۲ در شرایط ناهمدما بررسی شده است. رزین اپوکسی آرالدیت Ly۵۰۵۲ و ساخت کننده آمینی Hy۵۰۵۲ شرکت سیبا از رزینهای با کارائی بالاست که قابلیت پخت در دمای محیط را دارد و معمولاً در ساخت قطعات با



طرح ۱- ساختار رزینهای اپوکسی.

جدول ۱- انواع مختلف مدل‌های سینتیکی.

| تابع $f(\alpha)$ | علامت اختصاری | نام مدل |
|--|-------------------|--|
| $n(1-\alpha)[-Ln(1-\alpha)]^{1-n}$ | JMA (n) | جانسون - مهل - آورامی (Johnson-Mehl-Avrami) |
| $(1-\alpha)^{1/2}$ | R $\ddot{\gamma}$ | واکنش دوبعدی |
| $(1-\alpha)^{1/3}$ | R $\ddot{\gamma}$ | واکنش سه بعدی |
| $1/[-Ln(1-\alpha)]$ | D $\ddot{\gamma}$ | نفوذ دوبعدی |
| $3/2(1-\alpha)^{2/3}/[1-(1-\alpha)^{2/3}]$ | D $\ddot{\gamma}$ | معادله جاندر (Jander Eq) |
| $3/2[(1-\alpha)^{-1/3}-1]$ | D $\ddot{\gamma}$ | گینستلینگ - برونشتین (Ginstling-Brounshtein) |
| $(1-\alpha)^n$ | RO (n) | درجه واکنش |
| $\alpha^m(1-\alpha)^n$ | SB (m, n) | سیستاک - برگرن (Sestak-Berggren) |

$$A = -\frac{\beta x_p}{T f'(\alpha_p)} \exp(x_p) \quad (8)$$

که $f'(\alpha)$ مشتق مدل سینتیکی است.

از شب خط ($\ln \frac{d\alpha}{dt}$) بر حسب (T^{-1}) برای درجه پخت یکسان، پارامتر E_a حاصل می‌شود. از مقدار E_a برای ارائه مدل سینتیکی خاص با بهترین تفسیر از تابع تبدیل واکنش مورد مطالعه می‌توان استفاده کرد. بدین منظور لازم است دو تابع زیر را در نظر بگیریم [۱۰]:

$$y(\alpha) = \left(\frac{d\alpha}{dt} \right) \exp(x) \quad (5)$$

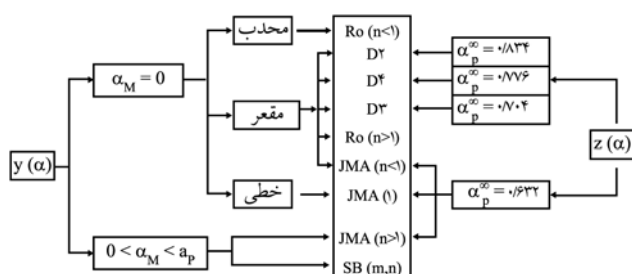
$$z(\alpha) = \pi(x) \left(\frac{d\alpha}{dt} \right) \frac{T}{\beta} \quad (6)$$

در اینجا x انرژی فعال سازی کاهش یافته (E_a/RT), β سرعت گرمادهی واکنش، T دمای مطلق و (x) تقریب (approximation of the temperature integral) درست دمایی (exact temperature integral) است. تابع می‌تواند با استفاده از شکل کسری معادله درجه چهارم سنوم و یانگ (Senum and Yang) بخوبی تقریب زده شود [۷، ۱۱].

$$\pi(x) = \frac{x^3 + 18x^2 + 88x + 96}{x^4 + 20x^3 + 120x^2 + 240x + 120} \quad (7)$$

شکل منحنی و نقاط ماقسیم توابع $y(\alpha)$ و $z(\alpha)$ اطلاعات مفیدی در مورد انتخاب مدل سینتیکی مناسب ارائه می‌دهند. این موضوع در الگوریتم شکل ۱ مشهود است. در این شکل α_M و α_p^∞ و α_p^∞ به ترتیب نقاط ماقسیم منحنیهای توابع $y(\alpha)$ ، $z(\alpha)$ و DSC است [۱۰].

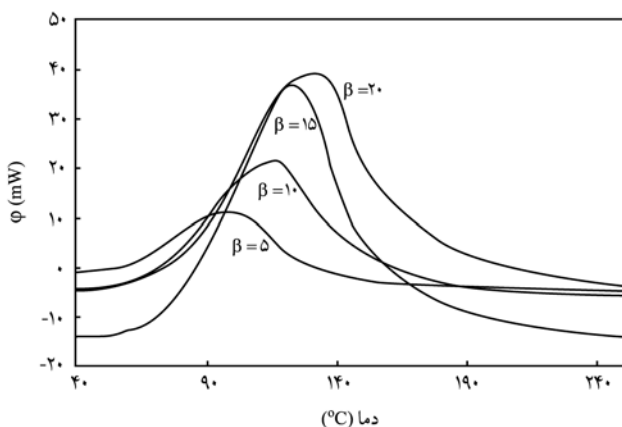
با استفاده از مقدار E_a و مدل سینتیکی انتخابی، ضریب پیشنهایی (A) به شکل زیر محاسبه می‌گردد:



شکل ۱- نمودار تعیین مدل سینتیکی.

جدول ۲ - خواص رزین.

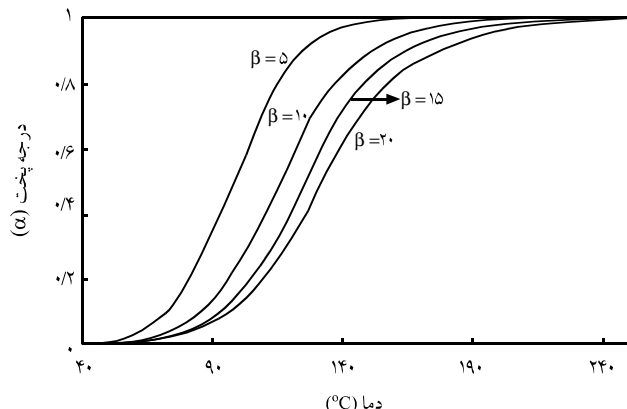
| کیفیت / مقدار | خاصیت |
|---------------|-------------------------|
| مایع | حالت |
| شفاف | رنگ |
| ۱/۱۶-۱/۱۸ | چگالی در ۲۵°C (g/cm³) |
| ۱۰۰۰-۱۵۰۰ | گرانروی در ۲۵°C (MPa.s) |
| ۶/۶۵-۶/۸۵ | میزان اپوکسی (Eq/kg) |



شکل ۲ - منحنیهای DSC برای سرعتهای گرمادهی مختلف.

است. همان گونه که مشهود است پخت رزین در سرعتهای گرمادهی کم در دماهای پایینتری کامل می‌شود. اطلاعات حاصل از آزمایشها، اعم از گرمای واکنش (ΔH)، دمای نقطه ماقسیم منحنی DSC (T_p) و مدت زمان پخت در جدول ۴ آمده است. همان گونه که در این جدول مشاهده می‌شود، با افزایش سرعت گرمادهی از مدت زمان پخت کاسته شده و نقاط ماقسیم منحنیهای DSC به دماهای بالاتری منتقل می‌شود. عوامل خطا در انجام آزمایشها، که منجر به تفاوت در میزان گرمای نهایی واکنش برای سرعتهای گرمادهی مختلف می‌گردد، به شرح زیر است:

- خطای توزین نمونه‌ها (نسبت رزین به سخت‌کننده)،
- تأخیر در قرار دادن نمونه‌ها درون ظرف مخصوص رزین دستگاه DSC. از آنجا که رزین ۵۰۵۲ هوایخت است، تأخیر در قرار دادن نمونه‌ها درون ظرف باعث پخت آنها می‌شود،
- تغییر دمای محیط آزمایشگاه در زمانهای مختلف انجام آزمایش،



شکل ۳ - تغییرات درجه پخت بر حسب دما برای سرعتهای گرمادهی مختلف.

مدل ۱۵۰۰ شرکت رئومتریک ساینس (Rheometric Science) استفاده شده است. این دستگاه از دو بخش TG و DSC تشکیل شده است، یعنی خروجی هر دو مورد به وسیله دستگاه رسم می‌شود. پیش از انجام آزمایشها، دستگاه باید با موادی مشخص و در شرایط ویژه درجه بندی شود تا نتایج بدست آمده قابل اطمینان باشد. سپس، نمونه با درصد ترکیب معینی از رزین و سخت‌کننده با دقت توزین شده و در ظرف مخصوص رزین روی ترازوی دستگاه قرار می‌گیرد. پس از وارد کردن اطلاعات، از جمله سرعت گرمادهی و دمای موردنظر، کار دستگاه شروع می‌شود.

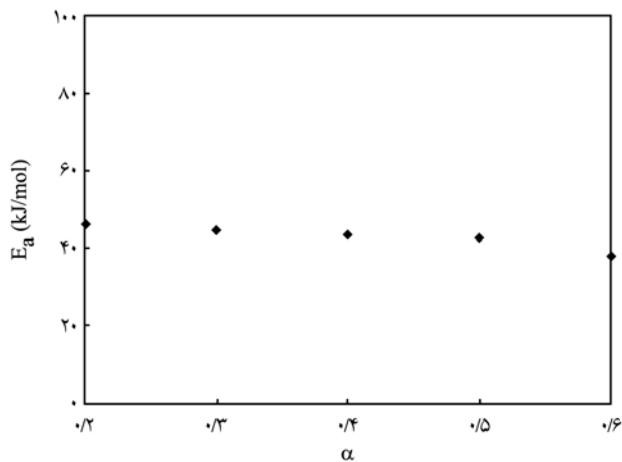
نتایج و بحث

برای ارائه مدل سینتیکی پخت رزین، آزمایشها برای چهار سرعت گرمادهی (β)، ۵، ۱۰، ۱۵ و $20^{\circ}\text{C}/\text{min}$ انجام گرفته است. شکل ۲ منحنیهای خروجی از دستگاه DSC را در چهار سرعت گرمادهی نشان می‌دهد که محاسبه سطح زیر این منحنیها مقدار گرمای واکنش (ΔH) را مشخص می‌کند.

همچنین، در شکل ۳ تغییرات درجه پخت رزین بر حسب دما آمده

جدول ۳ - خواص سخت‌کننده آمینی.

| کیفیت / مقدار | خاصیت |
|---------------|-------------------------|
| مایع | حالت |
| شفاف | رنگ |
| ۰/۹۳-۰/۹۵ | چگالی در ۲۵°C (g/cm³) |
| ۴۰-۶۰ | گرانروی در ۲۵°C (MPa.s) |
| ۹/۶-۹/۸ | میزان اپوکسی (Eq/kg) |

شکل ۵- تغییرات E_a بر حسب درجه پخت.

همان گونه که مشاهده می شود، مقادیر α_M در مقایسه با α_p کوچکترند و α_p^∞ از مقدار ۰/۶۳۲ کمتر است. با توجه به این نکته و ملاحظه مدل سینتیکی شکل ۱ معلوم می شود که واکنش پخت رزین موردنظر مطالعه می تواند به وسیله مدل خودکاتالیزوری دوپارامتری سیستاک - برگرن تفسیر شود.

$$f(\alpha) = \alpha^m (1-\alpha)^n \quad (9)$$

که m و n نمایهای مدل سینتیکی است. پارامتر n برابر شیب خط درجه بندی منحنی $\ln[(d\alpha/dt)\exp(x)]$ بر حسب $[\alpha^p(1-\alpha)]$ برابر حاصلضرب n در P است که P از معادله زیر بدست می آید:

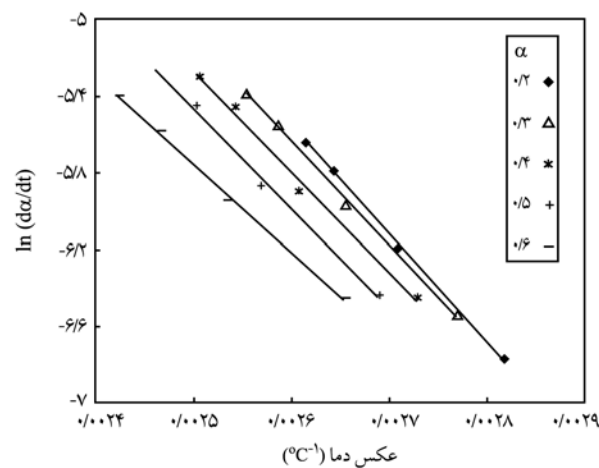
$$P = \alpha_M / (1 - \alpha_M) \quad (10)$$

در جدول ۶ پارامترهای سینتیکی در سرعتهای گرمادهی مختلف آمده است که در نهایت مدل سینتیکی پخت به شکل معادله ۱۱ در می آید:

$$\frac{d\alpha}{dt} = 5324 \exp\left(-\frac{5200}{T}\right) \alpha^{0.2233} (1-\alpha)^{1/22} \quad (11)$$

جدول ۵- مقادیر α_p ، α_p^∞ و α_M از داده های DSC

| α_p | α_p^∞ | α_M | (°C/min) | سرعت گرمادهی |
|------------|-------------------|------------|----------|--------------|
| ۰/۵۵۹۴ | ۰/۵۶۱۰ | ۰/۲۲۹۶ | | ۵ |
| ۰/۵۲۷۰ | ۰/۵۱۹۴ | ۰/۲۰۴۳ | | ۱۰ |
| ۰/۵۰۲۶ | ۰/۴۸۵۴ | ۰/۲۰۲۰ | | ۱۵ |
| ۰/۵۰۹۷ | ۰/۴۹۹۵ | ۰/۲۰۴۴ | | ۲۰ |



شکل ۶- منحنیهای آرنیوس برای درجه پخت از ۰/۲ تا ۰/۶.

- خطای در تعیین خطوط مبنای
- خطای دستگاه.

Ea از شیب خطوط آرنیوس حاصل از داده های خروجی DSC برای نمونه های پخت شده با استفاده از معادله ۴ در درجه پخت برابر و سرعتهای گرمادهی مختلف مطابق شکل ۶ بدست می آید.

شکل ۵ نیز تغییرات Ea در محدوده $\alpha < 0/6 < \alpha < 0/2$ را نشان می دهد. برای α های بزرگتر از ۰/۶ شیب خطوط آرنیوس و به تبع آن مقادیر Ea بدست آمده از آنها روندی غیر منطقی در مقایسه با حالت اول (وقتی که α بین ۰/۲ تا ۰/۶ است) دارد که این تغییرات احتمالاً به رخدادن خطای در تعیین موقعیت خطوط مبنای مرتبط است.

محاسبه توابع $y(\alpha)$ و $z(\alpha)$ با استفاده از معادلات ۵ و ۶ به کمک مقادیر Ea معین شده به کمک داده های گرماسنجی انجام می گیرد (شکل های ۶ و ۷).

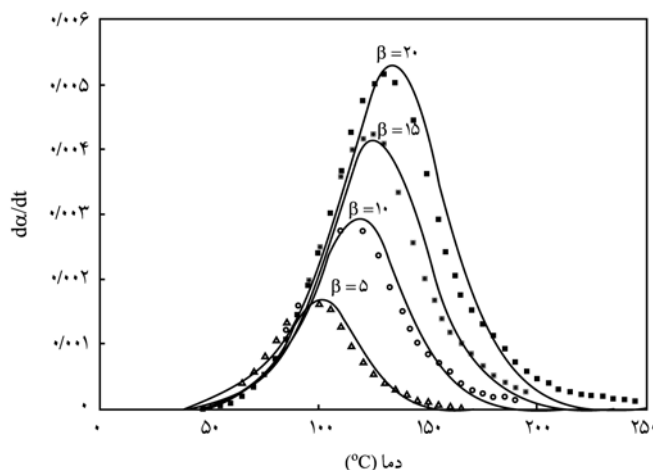
در جدول ۵ مقادیر ماکسیمم α_M و α_p^∞ مربوط به توابع $y(\alpha)$ و $z(\alpha)$ و همچنین ماکسیمم منحنیهای $y(\alpha)$ DSC برای آزمایش های مختلف آورده شده است.

جدول ۶- مشخصه های پخت نمونه ها با استفاده از داده های خروجی DSC

| ΔH (J/g) | (min) | زمان پخت | T_p (°C) | سرعت گرمادهی (°C/min) |
|------------------|-------|----------|------------|-----------------------|
| ۵۳۳/۹۵ | ۲۷/۹۶ | | ۹۹/۹۹ | ۵ |
| ۵۵۱/۶۶ | ۱۷/۴۲ | | ۱۱۶/۵ | ۱۰ |
| ۵۲۱/۲ | ۱۴/۰۸ | | ۱۲۴/۳۹ | ۱۵ |
| ۵۱۰/۴۵ | ۱۱/۶ | | ۱۳۱/۴۲ | ۲۰ |

جدول ۶- پارامترهای سینتیکی حاصل از بررسی رفتار گرمایی رزین اپوکسی.

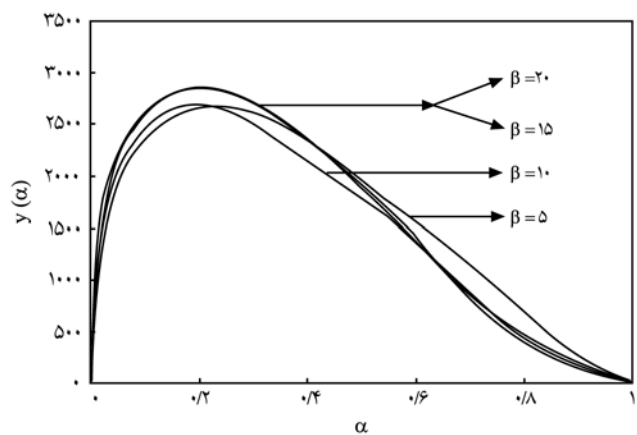
| n متوسط | n | m متوسط | m | متوسط lnA | lnA | متوسط Ea(kJ/mol) | سرعت گرمادهی (°C/min) |
|---------|-------|---------|--------|-----------|------|------------------|-----------------------|
| ۱/۲۲ | ۱/۰۶۵ | | ۰/۳۱۷۴ | | ۸/۴۹ | | ۵ |
| | ۱/۱۹۸ | ۰/۳۲۳۳ | ۰/۳۰۷۶ | ۸/۵۸ | ۸/۵۳ | ۴۳/۲۳ | ۱۰ |
| | ۱/۲۹ | | ۰/۳۲۶۶ | | ۸/۶۸ | | ۱۵ |
| | ۱/۳۳ | | ۰/۳۴۱۷ | | ۸/۶۹ | | ۲۰ |



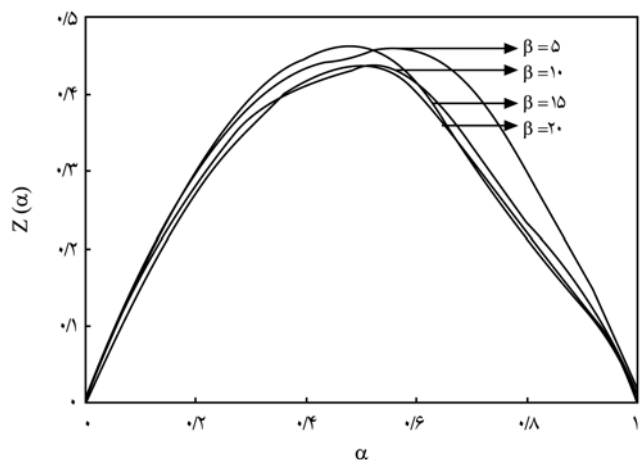
شکل ۸- مقایسه داده‌های حاصل از DSC و مدل ارائه شده در سرعتهای گرمادهی مختلف.

توافق بهتر این داده‌ها در شانه چپ به دلیل انتخاب نقطه ابتدایی آزمایش به عنوان ورودی نرم‌افزار است، علاوه بر اینکه خطاهای یاد شده نیز موجب این اختلاف شده است.

متوسط خطابرا برای هر آزمایش محاسبه شده است که مقدار آن برای سرعتهای گرمادهی ۱۰، ۵ و ۲۰°C/min به ترتیب برابر $۸/۲\times 10^{-5}$ ، $۱/۵\times 10^{-4}$ ، $۱/۹۱\times 10^{-4}$ و $۲/۷۶\times 10^{-4}$ است.



شکل ۶- تغییرات (y) بر حسب درجه پخت.



شکل ۷- تغییرات (Z) بر حسب درجه پخت.

سینتیک پخت رزین اپوکسی 50.52 ± 0.052 به همراه سخت‌کننده آن به وسیله دستگاه DSC بررسی و نتایج زیر حاصل شد:

- به دلیل پخت سریع رزین در دمای محیط نمی‌توان نتایج قابل قبولی از آزمایشها در شرایط همدما بدست آورد. بنابراین، آزمایشها در شرایط ناهمدما برای چهار سرعت گرمادهی ۵، ۱۰، ۱۵ و ۲۰°C/min انجام

با حل عددی معادله ۱۱ با توجه به اعداد موجود در جدول ۶ و استفاده از برنامه نوشته شده به کمک نرم‌افزار مطلب (matlab) می‌توان صحت مدل را بررسی کرد [۱۲]. شکل ۸ مقایسه نتایج حاصل از آزمایش و مدل ریاضی رانشان می‌دهد.

اختلاف جزئی داده‌های آزمایشگاهی و محاسباتی در شانه راست و

دهنده انتخاب مناسب مدل است.

قدردانی

بدین وسیله از مدیریت محترم مجتمع شهید شاه‌آبادی به دلیل اهدای رزین اپوکسی ۵۰۵۲ و همچنین از کارشناسان آزمایشگاه جابر معاونت تولید سوخت هسته‌ای سازمان انرژی اتمی ایران به دلیل همکاری صمیمانه در انجام آزمایش‌های DSC قدردانی می‌شود.

گرفت. تفاوت در مقدار گرمای نهایی واکنش به دلیل وجود خطأ در انجام آزمایش‌هاست.

- مقدار انرژی فعال‌سازی (E_a) برابر $43/23$ بدست آمد که این مقدار در درجه پخت بین $0/2$ ثابت و مستقل از شرایط آزمایش است.

- با تعیین ثابت‌های مدل سیستاک - برگن به کمک پارامترهای سیستیکی بدست آمده از آزمایش و رسم منحنیهای DSC با استفاده از مدل، توافق خوبی بین مدل و منحنیهای حاصل از آزمایش مشاهده می‌شود که نشان

مراجع

1. Jin Soo K., Paldal G. and Dai Gil L., Development of an Auto-clave Cure Cycle with Cooling and Reheating Steps for Thick Thermoset Composite Laminates, *J. Compos. Mater.*, **31**, 2264-2281, 1997.
2. Reso D., Cascaval C.N., Mustata F. and Ciobanu C., Cure Kinetics Epoxy Resins Studied by Nonisothermal DSC Data, *Thermochim. Acta*, **383**, 119-127, 2002.
3. Morshedian J. and Jahani Y., An Investigation of Cure Kinetics of Phenolic-Novalac Resins, *Iran. J. Polym. Sci. Technol. (in Persian)*, **5**, 18-29, 1992.
4. Saifi R. and Hojjati M., Cure Kinetics, Heat of Reaction and Viscosity of Araldite LY-556 Resin, *Iran. J. Polym. Sci. Technol. (in Persian)*, **11**, 197-206, 1998.
5. Vyazovkin S. and Sbirrazzuoli N., Kinetic Method to Study Isothermal and Nonisothermal Epoxy-anhydride Cure, *Macromol. Chem. Phys.*, **200**, 2294-2303, 1999.
6. Jin Soo K. and Dai Gil L., Measurement of the Degree of Cure of Carbon Fibre Epoxy Composite Materials, *J. Compos. Mater.*, **30**, 1436-1457, 1996.
7. Montserrat S. and Malek J., A Kinetic Analysis of Curing Reaction of an Epoxy, *Thermochim. Acta*, **228**, 47-66, 1993.
8. Beheshti M.H., Reinforced Plastics (Composites), Lecture Notes, Iran Polymer and Petrochemical Institute, 1999.
9. Malek J., Kinetic Analysis of Crystallisation Processes in Amorphous Materials, *Thermochim. Acta*, **355**, 239-253, 2000.
10. Malek J., The Kinetic Analysis of Nonisothermal Data, *Thermochim. Acta*, **200**, 257-269, 1992.
11. Sestak J. and Berggren G., Study of the Kinetics of the Mechanism of Solid-State Reactions at Increasing Temperatures, *Thermochim. Acta.*, **3**, 1-12, 1971.
12. Moshirnia M., *Design and Manufacture of Leaf Spring Composite*, MSc Thesis, Tarbiat Modares University, 2002.